

## مقایسه‌ی روش‌های هوش مصنوعی و ماسکینگام در تخمین روندیابی سیلاب

فرزاد حسن پور<sup>۱\*</sup>، زینب شیخعلی پور<sup>۲</sup>

تاریخ دریافت: ۹۲/۸/۲۳      تاریخ پذیرش: ۹۳/۴/۱۴

### چکیده

روندیابی سیلاب به دلیل فراهم نمودن امکان پیش‌بینی چگونگی طغیان و فروکش کردن آن در رودخانه، یکی از مهمترین مسائل در مهندسی رودخانه است. از آن جای که سیلاب جریانی متغیر غیردایمی است، لذا روندیابی آن نیاز به داده‌های گسترده از رودها و آمار دقیقی از ایستگاه‌های آبسنجی دارد. روش ماسکینگام، به دلیل سادگی آن، دارای کاربرد بیشتری در میان روش‌های روندیابی سیلاب می‌باشد. از طرفی، استفاده از روش‌های هوش مصنوعی در زمینه‌های مختلف مهندسی آب و شبیه‌سازی در حوضه‌های آبخیز طی دهه اخیر رشد چشمگیری داشته است. در این پژوهش، برای روندیابی سیلاب با استفاده از روش‌های ماسکینگام، شبکه‌ی عصبی مصنوعی، سامانه استنتاج تطبیقی عصبی-فازی، و برنامه‌ریزی ژنتیک از داده‌های ویلسون، ویو و همکاران، ویس من و لویس در سه رود مختلف استفاده گردید. نتایج شبیه‌سازی روندیابی سیلاب با کاربرد روش‌های ذکر شده با استفاده از شاخص‌های آماری  $R^2$  و RMSE ارزیابی گردیدند. نتایج این تحقیق نشان دادند که روش‌های هوش مصنوعی، به دلیل برخورداری از RMSE کمتر نسبت به روش ماسکینگام، برتری دارند، که این مقدار برای روش‌های هوش مصنوعی  $174/00$ ، و برای روش ماسکینگام  $227/28$  به دست آمد، بنابراین، روش ماسکینگام در شبیه‌سازی آب نگار سیلاب با بدھی اوج پرشمار موفق نبوده است. با وجود اندک تفاوت در دقت تخمین و مقادیر خطای شبیه‌های عصبی مصنوعی با مقادیر  $R^2$  و RMSE مناسبتر در رده‌ی اول، و سامانه‌ی استنتاج تطبیقی عصبی-فازی و برنامه‌ریزی ژنتیک به ترتیب در رده‌های دوم و سوم قرار می‌گیرند. با توجه به سهولت کاربرد و نتایج خوب روش‌های هوش مصنوعی، پیشنهاد می‌شود تحقیقات بیشتری در این زمینه صورت پذیرد.

**واژه‌های کلیدی:** روندیابی سیلاب، روش ماسکینگام، شبکه‌ی عصبی مصنوعی، برنامه‌ریزی ژنتیک، سامانه‌ی استنتاج تطبیقی عصبی-فازی

<sup>۱</sup>- استادیار گروه مهندسی آب، دانشکده کشاورزی دانشگاه زابل

<sup>۲</sup>- دانشجوی کارشناسی ارشد گروه مهندسی آب، دانشکده کشاورزی دانشگاه زابل

\*- نویسنده مسئول مقاله: hassanpourir@gmail.com

(معادلات سنت - ونان) ارائه داد. در این تحقیق از آبنگار Lane و مشخصات رود Wash Hughes برای پیش‌بینی رفتار جریان و تلفات انتقال استفاده گردید. نتایج حاصل از این پژوهش نشان دادند که شبیه تهیه شده دقت بالایی در شبیه‌سازی جریان ماندگار و ارضاء رابطه‌ی پیوستگی دارد.

مورامارکو و همکاران (۲۰۰۶) روش تطبیقی را بر اساس روش ماسکینگام برای پیش‌بینی آنلاین مرحله‌ای توسعه دادند که سهم قابل توجهی از آب و رودی به فرعی در امتداد حرکت آب رخ می‌دهد. آنها این روش را برای پیش‌بینی ساعتی بدء در ایستگاه آبسنجی مونتمولینو به کار برندند. تای‌فر و همکاران (۲۰۰۷) نیز دستاوردهای این شبیه را با نتایج به دست آمده از شبکه‌ی عصبی مصنوعی مقایسه کردند. آنها با استفاده از شبیه توسعه یافته‌ی ماسکینگام پی برندند که مجموع زمان پیشرفت آب محدود به زمان حرکت موج (در حدود ۸ ساعت) می‌باشد.

دادس (۲۰۰۹) از روش روندیابی معکوس جریان برای روندیابی سیلاب باکاربرد شبیه ماسکینگام استفاده کرد که در آن از آب نمای سیل پایین‌دست، مشخصات آب نمای سیل بالادست استخراج می‌شود. در این تحقیق روشی برای تعیین فراسنجهای معادلات شبیه ماسکینگام ارائه شد که برای حل غیرخطی شبیه روندیابی معکوس کاربرد داشت. نتایج به دست آمده نشان دادند که واسنجی جدید صورت گرفته برای روندیابی معکوس جریان امری الزامی است.

ناگش کومار و همکاران (۲۰۱۱) روندیابی سیلاب را باکاربرد روش ماسکینگام توسعه داده و به جای مدت زمان ثانی و فراسنجهای جریان اصلی، ضرایب مناسبی را برای تغییرات جریان ورودی در شبیه‌سازی خطی پیشنهاد کردند. آنها در چهار زمان ۰، ۱۲، ۲۴ و ۶ ساعت برای تعیین حساسیت روندیابی نسبت به زمان در جریان محاسباتی سیلاب در ایستگاه مهار کننده‌ی سیلاب به صحت سنجی پرداخته و نتیجه گرفتند که روش ماسکینگام توسعه یافته برای تعیین ابعاد مختلف مخازن مشابه سد، همچون مخزن هیرکود، با ایجاد تغییرات مناسب در آن، قابل استفاده است.

#### مقدمه

ممکن است سیلاب به دنبال بارش‌های کوتاه‌مدت و باشد زیاد، بارش‌های دراز مدت و با شدت کم، شکستن سدها و خاکریزها، و یا ترکیبی از این عوامل شکل گیرد. بررسی تغییرات به وجود آمده در موج سیلاب در مسیر یک رود روندیابی سیلاب نامیده می‌شود. سیلاب در نهرهای آبرفتی نفوذ کرده، سفره‌های منطقه‌ای و محلی را انباشته و منبع اصلی آب در مناطق بسیار خشک به شمار می‌رود. روندیابی سیلاب برای ایستگاههای مهار کردن سیل، که مشکل محدودیت اینمی دارند، امری ضروری به نظر می‌رسد. از میان روش‌های پرشماری که به منظور روندیابی سیلاب به کار می‌رود، روش ماسکینگام کاربرد گسترده‌تری دارد.

روندیابی سیلاب باکاربرد روش ماسکینگام در حدود شش دهه پیش به وسیله‌ی مک‌کارتی (۱۹۳۸)، یکی از مهندسان ارشد آمریکا در برنامه‌ی مهار کردن سیلاب حوضه‌ی رود ماسکینگام ایالت اوهايو آمریکا، ارائه گردید. با توجه به این که سیل جریانی غیردایمی و متغیر است، روندیابی آن نیاز به داده‌های کامل و دقیق در مورد رودها، و آمار کافی از ایستگاههای آبسنجی داشته و نبودن این آمار استفاده از روش‌های آماری پیچیده و دقیق را با مشکل مواجه می‌سازد. در این میان، روندیابی سیلاب باکاربرد روش ماسکینگام روشی نسبتاً ساده، و دارای دقت قابل قبول در روندیابی مخزن و رود به شمار می‌رود.

اولادغفاری و همکاران (۱۳۸۹) روندیابی هیدرولیکی سیلاب باکاربرد روش موج پویایی در لیقوان چای واقع در آذربایجان شرقی انجام داد و با روش روندیابی آبسننسی ماسکینگام خطی و غیرخطی مقایسه کردند. آنها از شبیه طولی، شبیه دیواره‌های جانبی، عرض کف و طول مسیر به عنوان مشخصات هیدرولیکی بهره برند. نتایج حاصل از روندیابی هیدرولیکی باکاربرد روش موج پویایی نشان از برتری این روش به روندیابی آبسننسی ماسکینگام داشته، و با توجه به نحوه‌ی کاربرد نیز توجیه اقتصادی دارد.

قبادیان (۱۳۹۰) شبیه‌ی را برای روندیابی سیلاب در مقاطع نامنظم رودهای فصلی بر اساس معادلات دیفرانسیل جزیی جریان غیرماندگار غیر یکنواخت

مصنوعی به عنوان ابزاری کاربردی، آسان و دقیق جهت روندیابی سیل و مطالعات آبشناسی حوضه‌های آبخیز به روشی نمایان است.

## مواد و روش‌ها

### معرفی محدوده‌های مطالعاتی

در این تحقیق از داده‌های مطالعات انجام شده در سه رود مختلف در آمریکا برای بررسی کاربرد روش‌های هوشمند در روندیابی سیلاب استفاده گردیده است. داده‌های سیلاب ورودی و خروجی مورد استفاده در این پژوهش از تحقیق ویلسون (۱۹۷۴) در رود Saddle ایالت نیوجرسی آمریکا، و همکاران (۱۹۸۵) و ویس من و لویس (۲۰۰۳) استخراج گردیدند (ستون‌های A و B در جداول ۳، ۲ و ۴). در شکل‌های ۱، ۲ و ۳ آبنماه‌ای جریان‌های ورودی و خروجی مشاهداتی برای داده‌های ویس من و لویس، ویلسون و وو و همکاران ارائه شده‌اند.

### روش ماسکینگام

روش ماسکینگام، نخستین بار به وسیله‌ی مک‌کارتی در سال ۱۹۳۸ و بر اساس مطالعات انجام شده در مورد رود ماسکینگام در آمریکا ارائه شد. روش ماسکینگام یکی از کارترین شبیه‌های آبشناسی است که به شکل گستردگی در مطالعات کاربردی رودها به کار می‌رود.

در روندیابی به روش ماسکینگام از اصل پیوستگی جریان و رابطه بین بدء و ذخیره‌ی آب بهره گرفته می‌شود:

$$\frac{dS}{dt} = I - Q \quad (1)$$

$$\Delta S = \frac{(I_j + I_{j+1})\Delta t}{2} - \frac{(Q_j + Q_{j+1})\Delta t}{2} = \frac{S_{j+1} - S_j}{\Delta t}$$

که در آن  $I$  بدء ورودی،  $Q$  بدء خروجی،  $S$  ذخیره‌ی آب رود،  $\Delta t$  گام زمانی و  $t$  زمان می‌باشد. در این روش معادله‌ی ذخیره‌ی آب به صورت زیر بیان شده است:

$$S = K[XI + (1-X)Q] \quad (2)$$

که در آن  $K$  ثابت ذخیره و دارای بعد زمان بوده، و معادل زمان انتقال موج است، و  $X$  ضریب بی‌بعد، که اثر مقدار نسبی بدءی ورودی و خروجی را بیان نموده و حدود آن  $0 < X < 1$  می‌باشد. ذخیره‌ی کل از دو قسمت

با گسترش روزافزون کاربردهای مبتنی بر هوش مصنوعی در دو دهه‌ی اخیر، استفاده از شبیه‌های متکی بر شبکه‌های عصبی مصنوعی بطور گستردگی در مباحث مربوط به پیش‌بینی فرآینجهای مختلف منابع آب مورد استفاده قرار گرفته، و محققان مختلف بر دقت بالای این روش در مقایسه با شبیه‌های گروه زمانی تاکید نموده‌اند.

در ادامه به تعدادی از این تحقیقات اشاره می‌گردد: موهان (۱۹۹۷) از روش الگوریتم ژنتیک، چانگ و چانگ (۲۰۰۱) از روش شبکه‌ی عصبی مصنوعی، گیم (۲۰۰۶) از روش BFGS، و داس (۲۰۰۹) از روش عصبی - فازی برای روندیابی سیلاب استفاده کرده و عملکرد بهتر هوش مصنوعی را نشان دادند.

چو (۲۰۰۹) با استفاده از سامانه‌ی استنتاج تطبیقی در محیط MATLAB به روندیابی سیلاب با شبیه ماسکینگام پرداخت. او نتایج به دست آمده از شبیه عصبی - فازی را با روش‌های خطی، غیرخطی، ترکیبی و الگوریتم ژنتیک مقایسه کرد و به این نتیجه رسید که مقادیر به دست آمده از شبیه عصبی - فاری قابلیت کاربرد در شبیه ماسکینگام را داشته، و نسبت به شبیه‌های دیگر تطابق مناسبتری را با داده‌های مشاهداتی دارند.

تولمز و همکاران (۲۰۰۶)، نایاک و همکاران (۲۰۰۴) و جین و همکاران (۱۹۹۹) از سامانه‌ی استنتاج تطبیقی عصبی - فازی برای شبیه‌سازی در زمینه‌های گوناگون آبشناسی استفاده کرده‌اند.

قربانی و همکاران (۲۰۱۰)، شیری و کیسی (۲۰۱۱)، گندمی و همکاران (۲۰۱۱) و حشمی و همکاران (۲۰۱۱) نیز از روش برنامه‌ریزی ژنتیک به منظور شبیه‌سازی در حوزه‌ی علوم و مهندسی آب و خاک بهره جسته‌اند.

با توجه به گسترش روزافزون استفاده از روش‌های هوش مصنوعی در علوم مختلف از یک سو، و سهولت کاربرد و دقت بالای نتایج این روش‌ها از سوی دیگر، در این تحقیق روندیابی سیلاب از طریق روش‌های ماسکینگام و هوش مصنوعی مورد ارزیابی قرار گرفت. با توجه به پیچیدگی روابط تحلیلی روندیابی جریان در شرایط غیردایمی، و همچنین محدودیت مکانی داده‌های سطح آب رود، ضرورت استفاده از روش‌های هوش

می‌باشد؛ بر این اساس، چنانچه بخشی از سلول‌های شبکه حذف شوند، و یا عملکرد غلط داشته باشند، باز هم احتمال رسیدن به پاسخ صحیح وجود دارد، اگرچه این احتمال برای تمام ورودی‌ها کاهش یافته، ولی برای هیچ یک از بین نرفته است.

شکل ۵ نمونه‌ای را از معماری یک شبکه‌ی عصبی با سه لایه‌ی ورودی، پنهان و خروجی نشان می‌دهد. با توجه به استفاده‌ی مکرر از این روش در مطالعات انجام گرفته پیشین، از آوردن جزئیات آن پرهیز گردیده است. همچنین، در این تحقیق، از شبکه‌ی عصبی دو لایه با ۴ گره پنهان در لایه‌ی پنهان برای پیش‌بینی روندیابی سیلاب استفاده شده است.

### سامانه‌ی استنتاج تطبیقی عصبی- فازی

این سامانه همانند شبکه‌های عصبی مصنوعی با الگوبرداری از سامانه کارکرد مغز انسان، با پردازش داده‌های تجربی، و بدون توجه به فیزیک مسئله، قانون نهفته‌ی مابین این اطلاعات را کشف می‌نماید. ANFIS قابلیت خوبی را در آموزش، ساخت و طبقه‌بندی داشته، و همچنین دارای این مزیت است که اجازه‌ی استخراج قوانین فازی را از اطلاعات عددی می‌دهد، و بطور تطبیقی یک قاعده- بنیاد می‌سازد (جانگ و راجر، ۱۹۹۳)؛ علاوه بر این، می‌تواند تبدیل پیچیده‌ی هوش بشری را به سامانه‌های فازی تنظیم کند. مشکل اصلی شبیه پیش‌بینی ANFIS، احتیاج نسبتاً زیاد به زمان برای آموزش ساختار و تعیین فراسنجه‌ها می‌باشد. ساختار شبیه ANFIS از پنج لایه تشکیل می‌گردد (شکل ۶)، که به منظور ساده‌سازی، فرض می‌شود که سامانه استنتاجی مورد نظر دو ورودی، X و Y، و یک خروجی Z دارد. برای یک شبیه فازی تاکاگی- سوگنو درجه‌ی اول، می‌توان یک مجموعه قانون نمونه را با دو قانون "اگر- آن‌گاه" فازی به صورت زیر بیان کرد:

قانون اول: اگر X برابر A<sub>1</sub> و Y برابر B<sub>1</sub> باشد آن‌گاه

$$Z_1 = p_1 x + q_1 y + r$$

قانون دوم: اگر X برابر A<sub>2</sub> و Y برابر B<sub>2</sub> باشد آن‌گاه

$$Z_2 = p_2 x + q_2 y + r_2$$

که P<sub>i</sub>، r<sub>i</sub> و q<sub>i</sub> (i=1,2) فراسنجه‌ای خطی در بخش تالی شبیه فازی تاکاگی- سوگنو درجه‌ی اول می‌باشند.

ذخیره‌ی منشوری (KX) و ذخیره‌ی منشوری (Q(X)) تشکیل می‌گردد که در شکل ۴ نشان داده شده است. با توجه به رابطه‌ی (۱) و محاسبه‌ی ذخیره در دو گام زمانی متوالی معادله‌ی ماسکینگام به صورت زیر ارائه می‌گردد:

$$Q_{j+1} = C_1 I_{j+1} + C_2 I_j + C_3 Q_j \quad (3)$$

که در آن ضرایب C<sub>1</sub>, C<sub>2</sub> و C<sub>3</sub> به قرار زیر تعریف می‌شوند:

$$C_1 = \frac{\Delta T + 2KX}{\Delta T + 2K - 2KX} \quad (4)$$

$$C_2 = \frac{\Delta T - 2KX}{\Delta T + 2K - 2KX} \quad (5)$$

$$C_3 = \frac{-\Delta T + 2K - 2KX}{\Delta T + 2K - 2KX} \quad (6)$$

چنانچه مقادیر C<sub>1</sub>, C<sub>2</sub> و C<sub>3</sub> را جمع کنیم برابر با یک خواهد شد؛ لذا C<sub>1</sub> = 1-(C<sub>1</sub>+C<sub>2</sub>) و با محاسبه C<sub>2</sub> مقدار C<sub>3</sub> از این رابطه به دست می‌آید. فراسنجه‌ای X و K در موارد شبیه‌سازی شده برای شبیه ماسکینگام در جدول ۱ آمده‌اند.

### شبکه‌ی عصبی مصنوعی

شبکه‌ی عصبی مصنوعی بر مبنای شبیه‌سازی عملکرد مغز و شبکه عصبی بدن انسان طراحی شده است. در طراحی این شبکه سعی بر آن است تا همانند ساختار زیست‌شناسی مغز انسان، قدرت یادگیری، تعیین‌دهی و تصمیم‌گیری وجود داشته باشد. البته مقاوم بودن، پردازش موازی و حافظه گسترده از دیگر ویژگی‌های باز شبکه‌ی مزبور می‌باشند. عملکرد شبکه‌های عصبی به صورت جعبه سیاهی است که ساختار درونی آن آشکار نبوده، و تنها با آزمون و خطا می‌توان به ساختار بهینه‌ی شبکه دست یافت، که این مهم می‌تواند به عنوان یکی از نقصهای شبکه‌های عصبی مصنوعی شمرده شود. از سویی، مهمترین مزیتهای این شبیه نیز عدم نیاز به تشریح و آشکارسازی روابط پیچیده، و غالباً غیرخطی حاکم بر فرایند مورد بررسی، و حساس نبودن شبکه به وجود مقداری خطأ در آمار و اطلاعات در دسترس است. هر نرون در شبکه متأثر از کل فعالیت سایر نرونها

- ۱) تولید یک جمعیت اولیه از روابط از ترکیب تصادفی مجموعه‌ی توابع (عملگرهای ریاضی مورد استفاده در آنها) و پایانه‌ها (متغیرهای مسئله و اعداد ثابت)
- ۲) مجموعه عملگرهای ریاضی مورد استفاده در روابط
- ۳) انتخاب شاخصهای دقت و صحبت‌سنگی مناسب برای شبیه (RMSE, MSE, R<sup>2</sup>, ...)
- ۴) تعیین فراسنجهای اداره‌کننده برنامه
- ۵) معیار پایان و ارائه شبیه با نتایج اجرای برنامه

### نحوه‌ی سنجش دقت شبیه‌ها

قابلیت هر سه روش هوشمند در شبیه‌سازی‌های مختلف ارزیابی شده است. در مطالعات انجام شده پیشین، معمولاً در شبیه‌سازی با تعداد داده کم دقت شبکه‌ی عصبی نسبت به سامانه‌ی استنتاج تطبیقی عصبی- فازی بیشتر ارزیابی گردیده و در شبیه‌سازی با تعداد داده زیاد برعکس می‌شود. دلیل این امر قدرت تعمیم‌دهی شبکه‌ی عصبی بیشتر در شبکه‌های کوچک است، که با گستردگی شبکه به شدت تضعیف می‌باید. به لحاظ مدت زمانی، شبکه‌ی عصبی خیلی سریعتر از دو شبیه دیگر به جواب می‌رسد. برنامه‌ریزی ژنتیک نیز به لحاظ مدت زمانی، در هر دو حالت، مابین شبکه‌های عصبی و سامانه‌ی استنتاج تطبیقی عصبی- فازی قرار می‌گیرد، اما نسبت به آنها دقت کمتری دارد. همچنین، از این رو که برنامه‌ریزی ژنتیک می‌تواند رابطه‌ی ریاضی برای شبیه ارائه نماید، حائز اهمیت می‌باشد.

برای بررسی دقت تخمین هر یک از شبیه‌ها از مقایسه‌ی مقادیر جذر میانگین مجموع مربع خطاهای (RMSE)، متوسط خطای اریبی (MBE) و ضریب همبستگی (R<sup>2</sup>) استفاده گردید. معادلات مربوط به MBE و RMSE به صورت زیر می‌باشند:

$$R^2 = 1 - \frac{\sum_{i=1}^t (P_i - O_i)^2}{\sum_{i=1}^t (P_i - \bar{P})^2} \quad (7)$$

$$MBE = \frac{\sum_{i=1}^t (P_i - O_i)}{t} \quad (8)$$

ویژگی متمایز کننده‌ی ANFIS، فراهم کردن الگوریتم یادگیری پیوندی، روش شبیه، و روش حداقل مربعات، به منظور اصلاح فراسنج‌ها می‌باشد. روش شبیه به کار گرفته می‌شود تا فراسنج‌های غیرخطی مقدماتی را تنظیم کند، در حالی که روش حداقل مربعات مورد استفاده قرار می‌گیرد تا فراسنج‌های خطی بخش تالی را تعیین کند. در ابتدا فراسنج‌های بخش مقدم (توابع عضویت) ثابت فرض گردیده و با استفاده از روش حداقل مربعات فراسنج‌های بخش تالی تعیین می‌شوند، سپس علاوه‌ی خطای پس انتشار می‌یابند. روش شبیه استفاده می‌شود تا فراسنج‌های مقدماتی از طریق حداقل کردن تابع هزینه درجه‌ی دوم کلی، اصلاح شود.

### برنامه‌ریزی ژنتیک

برنامه‌ریزی ژنتیک شبیه‌ی شبیه الگوریتم ژنتیک می‌باشد، با این تفاوت که در سامانه‌ی جستجوی جواب خود از شبیه درختی استفاده می‌کند. اولین بار جان کزا در سال ۱۹۹۲ بر اساس انگاره‌ی داروین، برنامه‌ریزی ژنتیک را ارائه نمود (۲۰۱۱). این برنامه روشی را برای برنامه‌ریزی خودکار جهت حل مسئله به صورت برنامه رایانه‌ی ارائه نموده و قابلیت بهینه‌سازی ساختار شبیه و مؤلفه‌های آن را دارد. در برنامه‌ریزی ژنتیک از ساختار درختی استفاده می‌شود، ولی الگوریتم ژنتیک بر پایه‌ی سامانه دو دویی است که تفاوت اساسی ساختاری این دو سامانه محسوب می‌گردد. کاربرد این روش در مسائلی که روش‌های معمول ریاضی محاسباتی قادر به حل آنها نباشند، یا از روابط مابین متغیرهای مسئله شناخت دقیقی در دسترس نباشد، به سرعت در حال ترقی است. در این پژوهش از برنامه‌ی GeneXproTools 4.0 برای توسعه و اجرای شبیه‌های مبتنی بر برنامه‌ریزی ژنتیک استفاده شده است که به وسیله‌ی فریرا ارائه گردید (۲۰۱۱). این نرم افزار ویرایش جدیدی از برنامه‌ریزی ژنتیک می‌باشد که به استنتاج شبیه‌های رایانه‌ای با اندازه‌ها و شکلهای مختلف می‌پردازد.

فرایند اجرایی گام به گام برنامه‌ریزی بیان ژن به صورت مراحل زیر است (قربانی و همکاران، ۲۰۱۰):

روشهای هوش مصنوعی، روش ماسکینگام دارای کمترین مقدار  $R^2$  و بیشترین مقدار RMSE و MBE است، بطوری که میانگین خطای RMSE برای داده‌های مورد ارزیابی در روش ماسکینگام به  $28/727$  می‌رسد که در مقایسه با میانگین RMSE برای داده‌ها در روش شبکه‌ی عصبی که مقدار آن  $174/000$  می‌باشد، قابل ملاحظه است.

مطالعه‌ی موردنی اول مربوط به داده‌های ویس من و لویس می‌باشد. با توجه به شکل ۱ آب نمای این داده‌ها دارای دو اوج جریان است، که در این شرایط روش ماسکینگام نتوانسته است داده‌های جریان را با RMSE پایین محاسبه کند. شکل ۷ نشان می‌دهد که میزان اختلاف داده‌های ویس من و لویس در روش ماسکینگام از روشهای هوش مصنوعی در روز سیزدهم زیاد گردیده است. مطالعه‌ی موردنی دوم مربوط به داده‌های ویلسون می‌باشد. در تحقیقی که موهان (۱۹۹۷) با استفاده از داده‌های ویلسون انجام داد از روشهای شبکه‌ی عصبی مصنوعی و الگوریتم ژنتیک برای تخمین فراسنجه‌ای روندیابی باکاربرد روش ماسکینگام غیر خطی استفاده کرد. وی نیز نتیجه گرفت که روشهای هوشمند نسبت به روش تجربی برتری دارند. مطالعه‌ی موردنی سوم مربوط به داده‌های وو و همکاران می‌باشد. محدوده‌ی تغییرات بدنه در این داده‌ها کم و آب نمای سیلاب به شکل منحنی سهمی بوده و دارای تنها یک اوج می‌باشد در این شرایط روش ماسکینگام توانسته است که تخمین بهتری را از داده‌های آب نگار خروجی نسبت به داده‌های ویس من و لویس با توجه به شکل ۹ ارائه دهد.

### نتیجه‌گیری

در تحقیق حاضر که با استفاده از داده‌های ویس من و لویس، ویلسون، وو و همکاران، روشهای هوش مصنوعی و ماسکینگام مورد ارزیابی قرار گرفته‌اند، هر چه محدوده‌ی تغییرات اعداد بیشتر می‌شود، کاهش توانایی روش آبشناصی در شبیه‌سازی ملموستر می‌گردد. بهوضوح دیده می‌شود که روشهای هوشمند، با توجه به نتایج مذکور پیش‌بینی بهتری را نسبت به روش آبشناصی ماسکینگام دارند. برتری شبکه‌ی عصبی نسبت به سامانه‌ی استنتاج تطبیقی عصبی-فازی مربوط به

$$RMSE = \sqrt{\frac{1}{t} \sum_{i=1}^t (P_i - O_i)^2} \quad (9)$$

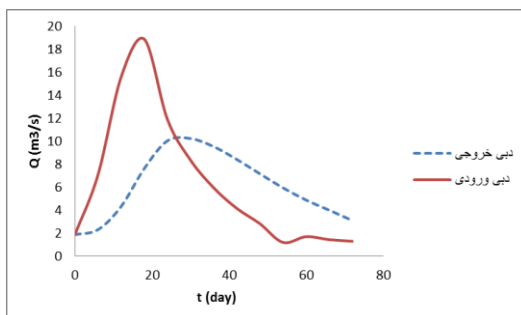
که در روابط فوق  $P_i$  و  $O_i$  مقادیر مشاهداتی و تخمینی در زمان  $t$ ، و  $t$  تعداد داده‌ها می‌باشند. مقدار RMSE بیانگر متوسط مربع خطای میان مقادیر مشاهداتی و پیش‌بینی شده بوده و هر چه مقدار آن کمتر باشد نشان دهنده دقت بیشتر تخمین شبیه است. مقدار MBE نشان دهنده‌ی مثبت یا منفی بودن خطای محاسباتی بوده، و نمایانگر این مطلب است که مقادیر پیش‌بینی شده به ترتیب بیشتر یا کمتر از مقادیر مشاهداتی هستند. مقدار  $R^2$  نیز همیشه بین صفر و یک تغییر می‌کند؛ هر چه به یک نزدیکتر باشد، نشان دهنده‌ی تطابق بهتر مقادیر تخمینی و مقادیر اندازه‌گیری شده می‌باشد.

### نتایج و بحث

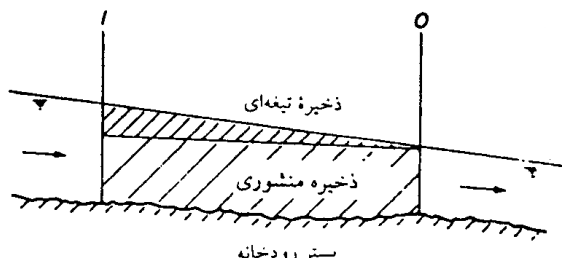
در جدول‌های ۲، ۳ و ۴ مقادیر جریان محاسباتی در روشهای هوش مصنوعی در کنار بدههای مشاهداتی برای داده‌های ویس من و لویس، ویلسون و وو و همکاران آورده شده‌اند.

در شکل‌های ۷، ۸ و ۹ آب نمای داده‌های جریان محاسبه شده ویس من و لویس، ویلسون و وو و همکاران با استفاده از روشهای هوش مصنوعی و ماسکینگام، به همراه داده‌های مشاهداتی بدنه خروجی آورده شده‌اند.

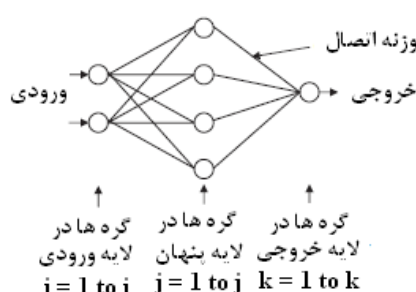
در جدول ۵ نتایج ارزیابی روشهای هوش مصنوعی و ماسکینگام در روندیابی سیلاب با استفاده از مقادیر  $R^2$ ، MBE و RMSE عرضه گردیده‌اند. با توجه به مقدار متوسط خطای اریبی (MBE) در جدول ۵، که نشان دهنده میزان انحراف از خط برازش داده شده می‌باشد، مشاهده می‌شود که روش شبکه‌ی عصبی مصنوعی کمترین مقدار MBE را داراست؛ لذا، کمترین میزان انحراف از خط برازش داده شده را خواهد داشت. روش ماسکینگام نسبت به روشهای هوش مصنوعی دارای انحراف بیشتری حول بهترین خط برازش داده شده می‌باشد. همچنان، با توجه به جدول ۶، روشهای شبکه‌ی عصبی مصنوعی و سامانه‌ی استنتاج تطبیقی عصبی-فازی دارای بالاترین ضریب همبستگی ( $R^2$ )، و کمترین میزان جذر میانگین مجموع مربع خطاهای (RMSE) در هر سه گروه داده‌های تحقیق حاضر می‌باشد. در مقایسه با



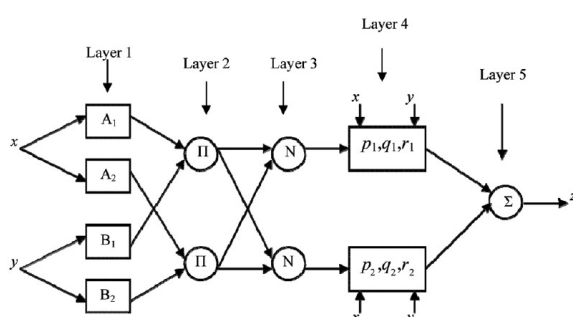
شکل ۳- آب‌نمای جریان مشاهداتی داده‌های وو و همکاران.



شکل ۴- ذخیره‌ی آب در مسیر رود.

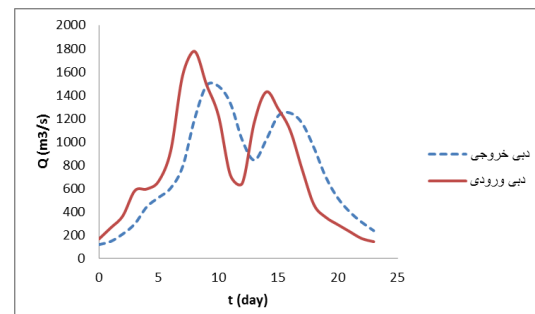


شکل ۵- طرحواره‌ای از معماری یک شبکه‌ی عصبی سه لایه.

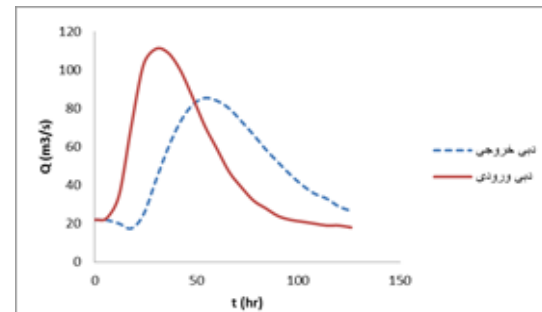


شکل ۶- نمایی از یک سامانه‌ی استنتاج عصبی- فازی باتابع عضویت مثلثی.

تعیین‌دهی مناسب شبکه‌ی عصبی در شبکه‌های کوچک است. هم‌چنین، شبیه‌های شبکه‌ی عصبی و سامانه‌ی استنتاج تطبیقی عصبی- فازی در روندیابی سیلاپ تواناتر از برنامه‌ریزی ژنتیک می‌باشند. لذا، بر اساس نتایج این تحقیق، روش‌های هوش مصنوعی می‌توانند به عنوان ابزاری کارآمد و ساده در روندیابی سیلاپ مورد استفاده قرار گیرند. در این راستا، پیشنهاد می‌گردد که با استفاده از داده‌های جریان در رودهای داخل کشور کارایی روش‌های هوش مصنوعی مورد بررسی قرار گیرد. هم‌چنین، می‌توان از روش‌های هوشمندی همچون روش درختی M5، ماشین بردار پشتیبانی<sup>۳</sup> و سایر روش‌ها نیز به منظور روندیابی سیلاپ بهره جست.

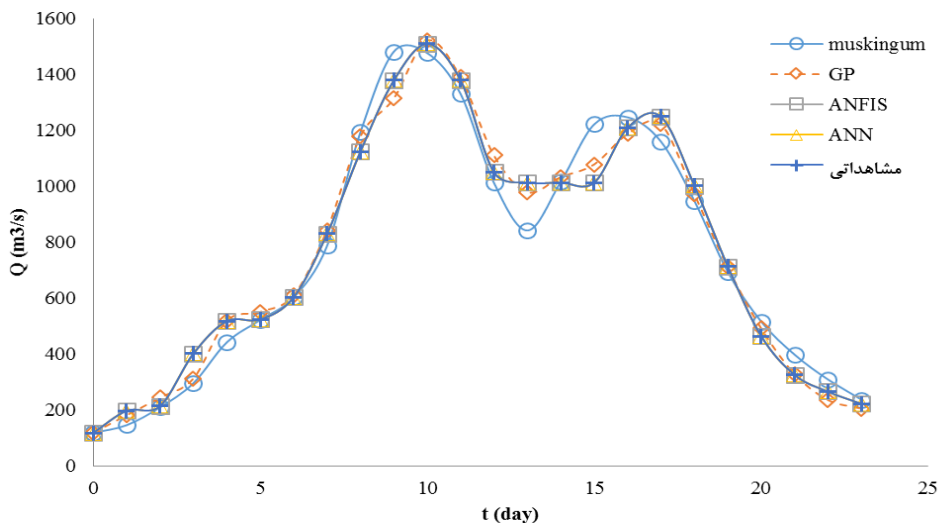


شکل ۱- آب‌نمای جریان مشاهداتی داده‌های ویسمن و لوین.

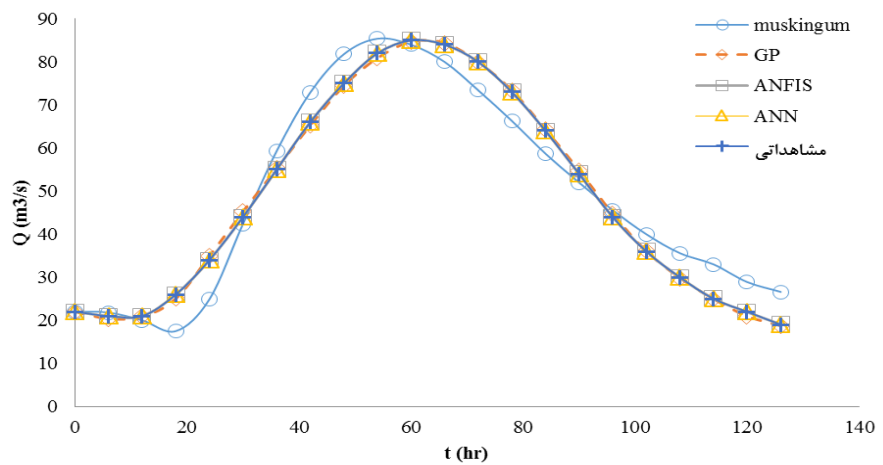


شکل ۲- آب‌نمای جریان مشاهداتی داده‌های ویلسون.

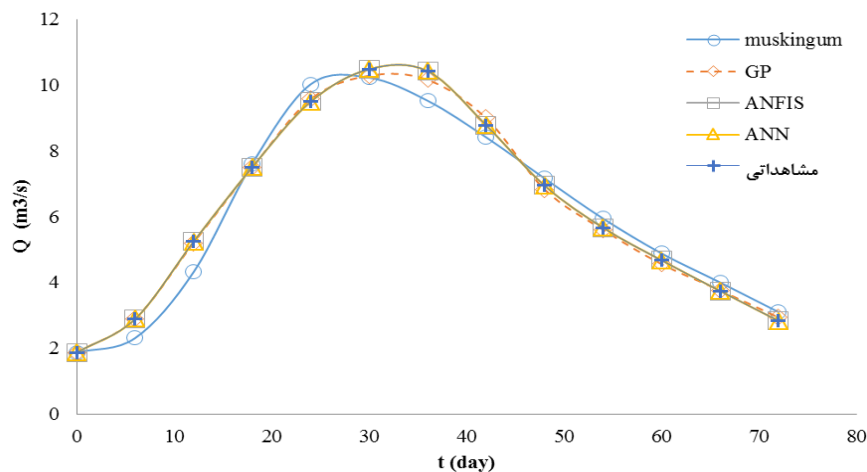
<sup>3</sup>- support vector machines (SVM)



شکل ۷- آب‌نماهای جریان باکاربرد روش‌های هوش مصنوعی و ماسکینگام با داده‌های مشاهداتی ویسمن و لویس.



شکل ۸- آب‌نماهای جریان محاسبه شده باکاربرد روش‌های هوش مصنوعی و ماسکینگام با داده‌های مشاهداتی ویلسون.



شکل ۹- آب‌نماهای جریان باکاربرد روش‌های هوش مصنوعی و ماسکینگام با داده‌های مشاهداتی وو و همکاران.

جدول ۱- فراسنچ‌های مربوط به روش ماسکینگام در مطالعه‌ی حاضر.

ویس من و لویس	وو و همکاران	ویلسون	فراسنچ‌های ماسکینگام
۰/۲۳	۰/۰۵۳	۰/۲۵	X
۱/۸۹	۲۰/۵	۲۹/۱	K
(روز)	(روز)	(ساعت)	

جدول ۲- مقادیر جریان محاسباتی از شبیه‌های هوش مصنوعی برای داده‌های ویس من و لویس.

بدهی شبکه عصبی مصنوعی (m <sup>3</sup> /s)	بدهی استنتاج تعظیقی عصبی-فازی (m <sup>3</sup> /s)	بدهی برنامه‌ریزی رنتیک (m <sup>3</sup> /s)	بدهی ماسکینگام (m <sup>3</sup> /s)	بدهی مشاهداتی خروجی (m <sup>3</sup> /s)	بدهی ورودی (m <sup>3</sup> /s)	گام زمانی (day)	A	B	C	D	E	F
۱۱۸/۴	۱۱۸/۴	۱۱۸/۴	۱۱۸/۴	۱۱۸/۴	۱۶۶/۲	*						
۱۹۷/۴	۱۹۷/۴	۱۹۷/۴	۱۴۶/۱	۱۸۱/۴۰۲	۲۶۳/۶	۱						
۲۱۴/۱۲۸	۲۱۴/۱۲۸	۲۴۴/۱۵۱	۲۰۹/۶	۲۱۴/۱۱۴	۳۶۵/۳	۲						
۴۰۲/۰۶۸	۴۰۲/۰۶۸	۳۱۲/۲۹۷	۲۹۶/۴	۳۱۲/۲۹۷	۵۸۰/۵	۳						
۵۱۸/۱۵۸	۵۱۸/۱۵۸	۵۱۹/۲۵۷	۴۴۲/۲	۴۴۲/۲	۵۹۴/۷	۴						
۵۲۳/۹۵۹	۵۲۳/۹۵۹	۵۵۰/۸۸۶	۵۲۲/۴	۵۵۰/۸۸۶	۶۶۲/۶	۵						
۶۰۳/۰۸۲	۶۰۳/۰۸۲	۶۱۰/۰۵۵	۶۰۲/۷	۶۱۰/۰۵۵	۹۲۰/۳	۶						
۸۲۹/۷۰۳	۸۲۹/۷۰۳	۸۴۲/۹۷۷	۷۸۶/۸	۸۴۲/۹۷۷	۱۵۶۸/۸	۷						
۱۱۲۴/۲۰۸	۱۱۲۴/۲۰۸	۱۱۷۸/۵۸۲	۱۱۹۳/۶	۱۱۷۴/۲	۱۷۷۵/۵	۸						
۱۳۷۸/۹۹۶	۱۳۷۸/۹۹۶	۱۳۷۸/۹۹۶	۱۳۱۳/۷۸	۱۴۸۱/۷	۱۴۸۹/۵	۹						
۱۵۰۹/۲۹۵	۱۵۰۹/۲۹۵	۱۵۲۱/۸۰۶	۱۴۷۶/۸	۱۵۰۹/۳	۱۲۲۳/۳	۱۰						
۱۳۷۸/۹۹۶	۱۳۷۸/۹۹۶	۱۳۷۸/۹۹۶	۱۳۳۰/۱	۱۳۷۹	۷۱۳/۶	۱۱						
۱۰۵۰/۰۹۴	۱۰۵۰/۰۹۴	۱۱۱۰/۸۶۴	۱۰۱۲/۵	۱۰۵۰/۶	۶۴۵/۶	۱۲						
۱۰۱۳/۶۹۷	۱۰۱۳/۶۹۷	۹۷۹/۵۸۵	۸۴۲/۳	۱۰۱۳/۷	۱۱۶۶/۷	۱۳						
۱۰۱۳/۶۹۷	۱۰۱۳/۶۹۷	۱۰۳۲/۸۶	۱۰۱۶/۹	۱۰۱۳/۷	۱۴۲۷/۲	۱۴						
۱۰۱۳/۶۹۷	۱۰۱۳/۶۹۷	۱۰۷۸/۳۹۱	۱۲۲۱/۹	۱۰۱۳/۷	۱۲۸۲/۸	۱۵						
۱۲۰۹/۱۰۴	۱۲۰۹/۱۰۴	۱۱۸۶/۷۸۳	۱۲۴۶/۹	۱۲۰۹/۱	۱۰۹۸/۷	۱۶						
۱۲۴۸/۸۰۸	۱۲۴۸/۸۰۸	۱۲۲۲/۱۵	۱۱۶۰	۱۲۴۸/۸	۷۶۴/۶	۱۷						
۱۰۰۲/۳۹۸	۱۰۰۲/۳۹۸	۹۷۲/۷۵۳	۹۴۷/۵	۱۰۰۲/۴	۴۵۸/۷	۱۸						
۷۱۳/۵۹۹	۷۱۳/۵۹۹	۷۱۳/۵۹۸	۷۱۰/۶۶۵	۷۱۳/۸	۳۵۱/۱	۱۹						
۴۶۴/۴۰۴	۴۶۴/۴۰۴	۴۹۲/۶۹۶	۵۱۶/۵	۴۶۴/۴	۲۸۸/۸	۲۰						
۳۲۵/۶۰۵	۳۲۵/۶۰۵	۳۲۹/۱۲۲	۳۹۸/۱	۳۲۵/۶	۲۲۸/۸	۲۱						
۲۶۵/۶۰۲	۲۶۵/۶۰۲	۲۲۶/۲۷۸	۲۳۷/۴	۲۶۵/۶	۱۷۰/۲	۲۲						
۲۲۲/۶۰۵	۲۲۲/۶۰۵	۲۰۵/۵۸۶	۲۳۷/۴	۲۲۲/۸	۱۴۳	۲۳						

جدول ۳- مقادیر جریان محاسباتی از شبیه‌های هوش مصنوعی برای داده‌های ویلسون.

بدهی شبکه عصبی مصنوعی (m³/s)	بدهی فازی-عصبی (m³/s)	بدهی برنامه‌ریزی ژنتیک (m³/s)	بدهی مشاهداتی خروجی (m³/s)	بدهی ماسکینگام (m³/s)	بدهی ورودی (m³/s)	گام زمانی (hr)
F	E	D	C	B	A	
۲۲	۲۲	۲۲	۲۲	۲۲	۲۲	.
۲۰/۹۹۹	۲۰/۹۷۶	۲۰/۳۶۸	۲۱/۸	۲۱	۲۳	۶
۲۰/۹۹۹	۲۱/۰۰۳	۲۰/۸۱۸	۲۰	۲۱	۳۵	۱۲
۲۶	۲۵/۹۹۹	۲۵/۰۵۸	۱۷/۵	۲۶	۷۱	۱۸
۳۴	۳۳/۹۹۹	۳۴/۹۶۳	۲۴/۹	۳۴	۱۰/۳	۲۴
۴۳/۹۹۹	۴۳/۹۹۹	۴۵/۳۰۱	۴۲/۴	۴۴	۱۱۱	۳۰
۵۴/۹۹۹	۵۵	۵۵/۲۴۹	۵۹/۳	۵۵	۱۰/۹	۳۶
۶۶	۶۵/۹۹۹	۶۵/۲۶۳	۷۲/۹	۶۶	۱۰/۰	۴۲
۷۵	۷۴/۹۹۹	۷۴/۴۶۲	۸۱/۸	۷۵	۸۶	۴۸
۸۲	۸۰/۸۷۳	۸۰/۴	۸۵/۴	۸۲	۷۱	۵۴
۸۵	۸۴/۹۹۶	۸۴/۶۷	۸۴	۸۵	۵۹	۶۰
۸۴	۸۴/۰۰۴	۸۴/۳۶۱	۸۰	۸۴	۴۷	۶۶
۷۹/۹۹۶	۷۹/۹۰۳	۷۹/۹۰۳	۷۳/۴	۸۰	۳۹	۷۲
۷۹/۹۹۹	۷۹/۹۰۲	۷۹/۳۰۵	۶۶/۳	۷۳	۳۲	۷۸
۶۳/۹۹۹	۶۳/۹۹۶	۶۴/۲۳۲	۵۸/۷	۶۴	۲۸	۸۴
۵۳/۹۹۹	۵۴/۰۰۳	۵۴/۷۴۲	۵۲	۵۴	۲۴	۹۰
۳۵/۹۹۹	۴۳/۹۹۱	۴۴/۶۸۵	۴۵/۶	۴۴	۲۲	۹۶
۳۵/۹۹۹	۳۶/۰۲۴	۳۶/۰۳۳	۴۰	۳۶	۲۱	۱۰/۲
۲۹/۹۸۱	۲۹/۹۸۱	۲۹/۷۹۵	۳۵/۶	۳۰	۲۰	۱۰/۸
۲۵	۲۵/۰۲۳	۲۴/۹۴۵	۳۳	۲۵	۱۹	۱۱/۴
۲۱/۹۹۹	۲۱/۹۳۶	۲۰/۹۴۸	۲۸/۹	۲۲	۱۹	۱۲۰
۱۹	۱۹/۰۶۱	۱۸/۷۲۳	۲۶/۶	۱۹	۱۸	۱۲۶

جدول ۴- مقادیر جریان محاسباتی از شبیه‌های هوش مصنوعی برای داده‌های ویو و همکاران.

بدهی شبکه عصبی مصنوعی (m³/s)	بدهی فازی-عصبی (m³/s)	بدهی برنامه‌ریزی ژنتیک (m³/s)	بدهی مشاهداتی خروجی (m³/s)	بدهی ماسکینگام (m³/s)	بدهی ورودی (m³/s)	گام زمانی (day)
F	E	D	C	B	A	
۱/۸۷	۱/۸۷	۱/۸۷	۱/۸۷	۱/۸۷	۱/۸۷	.
۲/۸۸۹	۲/۸۸۹	۲/۸۸۶	۲/۳۱	۲/۸۹	۷/۰۸	۶
۵/۲۳۹	۵/۲۳۹	۵/۲۰۱	۴/۳۲	۵/۲۴	۱۵/۵۷	۱۲
۷/۵	۷/۴۹۹	۷/۴۸۹	۷/۶۱	۷/۵	۱۸/۸۵	۱۸
۹/۴۸۹	۹/۴۸۹	۹/۵۷۷	۱۰/۰۲	۹/۴۹	۱۱/۸۹	۲۴
۱۰/۴۱۹	۱۰/۴۱۹	۱۰/۲۹۱	۱۰/۲۲	۱۰/۴۸	۸/۳۵	۳۰
۱۰/۴۲	۱۰/۴۱۹	۱۰/۱۶۶	۹/۵۲	۱۰/۴۲	۵/۹۵	۳۶
۸/۷۷۹	۸/۷۷۹	۸/۹۹۷	۸/۴۱	۸/۷۸	۴/۱۶	۴۲
۸/۹۳۹	۸/۹۳۹	۸/۸۲۹	۷/۱۶	۶/۹۴	۲/۸۳	۴۸
۵/۶۶	۵/۶۶	۵/۶۰۱	۵/۹۴	۵/۶۶	۱/۲	۵۴
۴/۶۷۰	۴/۶۷	۴/۵۵۵	۴/۸۸	۴/۶۷	۱/۷	۶۰
۳/۷۳۹	۳/۷۳۹	۳/۷۵۷	۳/۱	۳/۷۴	۱/۴۴	۶۶
۲/۸۳	۲/۸۳	۲/۹۳۱	۲/۸۳	۲/۸۳	۱/۳	۷۲

## جدول ۵- نتایج ارزیابی روندیابی سیلاب با روش‌های هوش مصنوعی و ماسکینگام.

داده‌های تحقیق حاضر	فراسنج‌های صحت سنجی	ماسکینگام	برنامه ریزی ژنتیک	فازی	استنتاج تطبیقی عصبی	شبکه عصبی مصنوعی
ویسمن و لویس	R <sup>2</sup>	.۰/۹۶۹	.۰/۹۹۲	۱	۱	۱
	RMSE	۷۷/۲۵۵	۳۶/۷۶	.۰/۱۶۶	.۰/۰۰۵	
	MBE	-۵/۷۳۹	-۰/۰۱۳	-۰/۰۰۰۰۹	.۰/۰۰۰۳	
ولیسون	R <sup>2</sup>	.۹۴۸	.۰/۹۹۹	۱	۱	۱
	RMSE	.۸/۴۴۵	.۰/۶۴۵	.۰/۰۲۱	.۲×۱۰ <sup>-۴</sup>	
	MBE	.۰/۲۶۱	-۰/۰۶۱	-۰/۷۰۴×۱۰ <sup>-۴</sup>	-۰/۲۷۳×۱۰ <sup>-۴</sup>	
ویو و همکاران	R <sup>2</sup>	.۹۷۴	.۰/۹۹۸	۱	۱	۱
	RMSE	.۰/۴۸۳	.۰/۱۲۷	.۰/۰۹۵×۱۰ <sup>-۴</sup>	.۰/۲۹۱×۱۰ <sup>-۴</sup>	
	MBE	-۰/۰۹۵	-۰/۰۲۹	-۰/۰۶۴×۱۰ <sup>-۴</sup>	.۰/۰۱۳×۱۰ <sup>-۴</sup>	
میانگین	R <sup>2</sup>	.۹۶۳	.۰/۹۹۶	۱	۱	۱
	RMSE	۲۸.۷۲۷	۱۲.۴۵۷	.۰۰۶۲۳	.۰۰۰۱۷۴	
	MBE	-۱.۸۵۷	-۰/۰۰۳۴۲	-۰/۰۰۰۰۳۲	-۰/۰۰۰۰۹۱۳	

## منابع

8. Gandomi, A.H., S.M. Tabatabaei, M.H. Moradian, A. Radfar, and A.H. Alavi. 2011. A new prediction model for the load capacity of castellated steel beams. *J. Constr. Steel Res.* 67: 1096–1105.
9. Geem, Z.W. 2006. Parameter estimation for the nonlinear Muskingum model using the BFGS technique. *J. Irrig. Drain. E-ASCE*. 132: 474-478.
10. Ghorbani, M.A., R. Khatibi, A. Aytek, O. Makarynskyy, and J. Shiri. 2010. Sea water level forecasting using genetic programming and comparing the performance with artificial neural networks. *Comput. Geosci-UK*. 36: 620-627.
11. Hashmi, M.Z., A.Y. Shamseldin, and B.W. Melville. 2011. Statistical downscaling of watershed precipitation using gene Expression Programming (GEP). *Environ. Model. Softw.* 26: 1639-1646.
12. Jain, S. K., A. Das, and D. K. Srivastava. 1999. Application of ANN for reservoir inflow prediction, and operation. *J. Water Res. PL-ASCE*. 125: 263-271.
13. Jang, J., and S. Roger. 1993. ANFIS: Adaptive-network-based fuzzy inference systems. *IEEE T. Syst. Man Cy.* 23: 665-685.
14. Linsely, R.K., M.A. Kohler, and J.L.H. Paulhus. 1982. *Hydrology for engineers*.
۱. اولادغفاری، ا.، ا. فاخری فرد، اح. ناظمی، و م.ع. قربانی. ۱۳۸۹. روندیابی هیدرولیکی سیلاب به روش سیلاب پویا و مقایسه با روندیابی آبشناصی ماسکینگام خطی و غیرخطی (مطالعه موردي: لیقوان چای). *مجله دانش آب و خاک*، جلد ۲۰/۱، شماره ۳، ۴۷-۶۰.
۲. قبادیان، ر. ۱۳۹۰. روندیابی سیلاب و تخمین تلفات نشت در رودهای فصلی با حل همزمان معادلات جریان غیرماندگار و نشت. *نشریه آب و خاک (علوم و صنایع کشاورزی)*، جلد ۲۵، ۲۵، شماره ۳۰۴، ۲۹۶-۳۰۴.
3. Chang, L. C., and F. J. Chang. 2001. Intelligent control for modeling of real-time reservoir operation. *Hydrol. Process.* 15: 1621-1634.
4. Chow, V.T. 1973. *Open channel hydraulics*. Third edition. McGraw Hill Book Company Inc. New York.
5. Chu, H.J. 2009. The Muskingum flood routing model using a neuro-fuzzy approach. *J. Civ. Eng. ASCE*. 13:371-376.
6. Das, A. 2009. Reverse stream flow routing by using Muskingum models. *J. Sadhana*. 34: 483-499.
7. Denlinger, R., and R. Iverson. 2001. Flow of variably fluidized granular masses across three dimensional terrain 2 Numerical predictions and experimental tests, *J. Geophys. Res.* 106(B1): 553-566.

- adaptive neurofuzzy inference system. *Comput. Geosci-UK.* 32: 421-433.
27. Viessman, Jr., W., and G. L. Lewis. 2003. *Introduction to hydrology*, Pearson Education, Inc. Upper Saddle River, New Jersey, USA.
  28. Wilson, E.M. 1974. *Engineering hydrology*, MacMillan Education Ltd., Hampshire, U.K.
  29. Wu, Jy. S., E. L. King, and M. Wang. 1985. Optimal identification of Muskingum routing coefficients. *Water Resour. Bull.* 21: 417–421.
  30. Yang, C.C., and L.C. Chang. 2001. Enhanced efficiency on the parameter estimation of muskingum model using artificial neural network. *J. Hydrosci. Hydraul. Eng. ASCE.* 19: 47-56.
  - Third edition. McGraw Hill Book Company. New York.
  15. Mays, L.W. 2001. *Water resources engineering*. First edition. John Wiley and Sons, Inc. New York.
  16. McCarthy, G.T. 1938. The unit hydrograph and flood routing. New London. Conference North Atlantic Division.US Army Corps of Engineers, New London, Conn, USA.
  17. Mohan, S. 1997. Parameter estimation of nonlinear Muskingum models using genetic algorithm. *J. Hydraul. Eng. ASCE.* 123:137-142.
  18. Moramarco, T., S. Barbettia, F. Melone, and V.P. Singh. 2006. A real-time stage Muskingum forecasting model for a site without rating curve. *Hydrol. Sci. J.* 51:66–82.
  19. Nagesh Kumar, D., F. Baliarsingh, and K.S Raju. 2011. Extended Muskingum method for flood routing. *J. Hydro-Environ Res.* 5: 127-135.
  20. Nayak, P. C., K. P. Sudheer, D. M. Rangan, and K.S. Ramasastri. 2004. A neuro-fuzzy computing technique for modeling hydrological time series. *J. Hydrol.* 291: 52–66.
  21. S.C.S .1985. National engineering handbook, Section 4-Hydrology. Water Resources Publication, Littleton.
  22. Shiri, J., and O. Kisi. 2011. Comparison of genetic programming with neuro-fuzzy system s for predicting short-term water table depth fluctuations. *Comput. Geosci-UK.* 37: 1692–1701.
  23. Sturm, T.W. 2001. *Open channel hydraulics*. McGraw Hill Higher Education, International ed. Singapore.
  24. Tayfur, G., T. Moramarco, and V.P. Singh. 2007. Predicting and forecasting flow discharge at sites receiving significant lateral inflow. *J. Hydrol. Process.* 21:1848–1859.
  25. Toro, E.F. 1997. *Riemann solvers, and numerical methods for fluid dynamics*, Springer- Verlag Publishers, Berlin, p. 1–592.
  26. Tulmez, B., Z. Hatipoglu, and U. Kaymak. 2006. Modeling electrical conductivity of groundwater using an